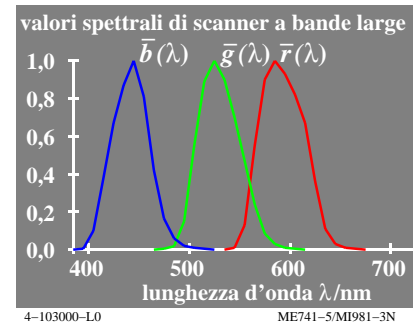
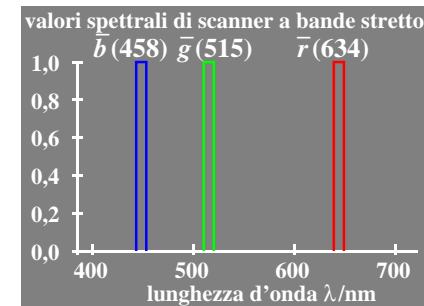
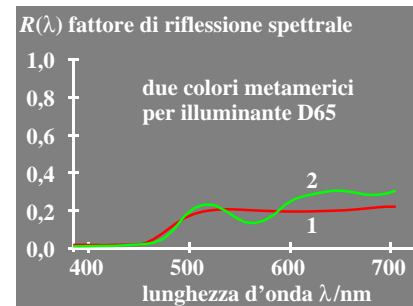
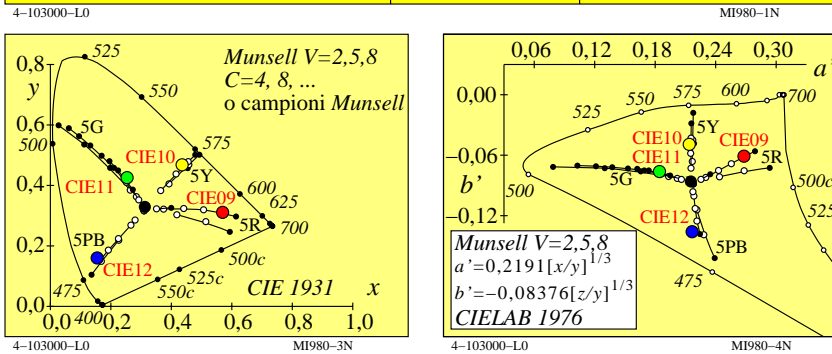


vedi file simili: http://farbe.li.tu-berlin.de/MI98/MI98.HTM
 http://130.149.60.45/~farbmertik o http://farbe.li.tu-berlin.de

iscrizione TUB: 20190801-MI98/MI98L0FP.PDF /.PS
 Applicazione per la misura dell'output su display

TUB materiale: code=rh4ta

Attributi del colore nelle metriche di alto e basso livello	Modalità di miscela di colori	
	Dicromatica	Tricromatica
Metrica di basso livello o di valenza	(per $Y_- \geq B_-$)	(per $R_- \geq G_- \geq B_-$)
valore bianco W	B_-	B_-
valore nero N	$100 - Y_-$	$100 - R_-$
valore cromatico C	$Y_- - B_-$	$R_- - B_-$
Metrica di alto livello o basata sulla percezione	(per $Y^*_- \geq B^*_-$)	(per $R^*_- \geq G^*_- \geq B^*_-$)
bianchezza W^*	B^*_-	B^*_-
nerezza N^*	$100 - Y^*_-$	$100 - R^*_-$
cromaticità C^*	$Y^*_- - B^*_-$	$R^*_- - B^*_-$



indice di fedeltà di colore R_i del colore di test di BAM-scanner		
scanner	TC indice di fedeltà	differenza di colore
banda large	1	82
	2	84
laser	1	63
	2	69
ideale	1	100
	2	100

D65, regolazione con carte pience

Metrica del colore di valenza: (relazioni lineari dai dati CIE 1931)		
Denominazione degli attributi cromatici "lineari"	Simbolo e relazione con i valori trstimulo o di cromaticità CIE	Note
valori di tristimulus	X, Y, Z	
valore cromatico	Diagramma lineare del valore cromatico (A, B)	$n=D65$
rosso-verde	$A = [X / Y - X_n / Y_n] Y = [a - a_n] Y$ $= [x / y - x_n / y_n] Y$	(sfondo)
giallo-blu	$B = -0,4 [Z / Y - Z_n / Y_n] Y = [b - b_n] Y$ $= -0,4 [z / y - z_n / y_n] Y$	
radiale	$C_{AB} = [A^2 + B^2]^{1/2}$	
cromaticità	Diagramma lineare di cromaticità (a, b)	confrontabili con le sensibilità dei coni in modo lineare
rosso-verde	$a = X / Y = x / y$	$L/(L+M) = P/(P+D)$
giallo-blu	$b = -0,4 [Z / Y] = -0,4 [z / y]$	$S/(L+M) = T/(P+D)$
radiale	$c_{ab} = [(a - a_n)^2 + (b - b_n)^2]^{1/2}$	

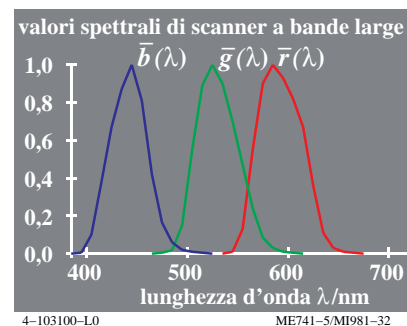
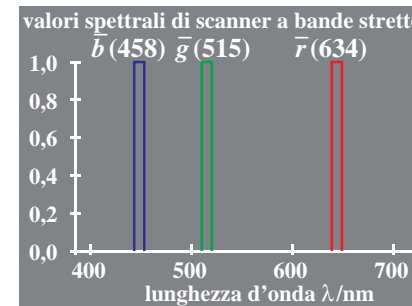
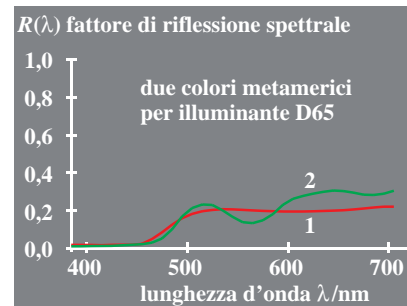
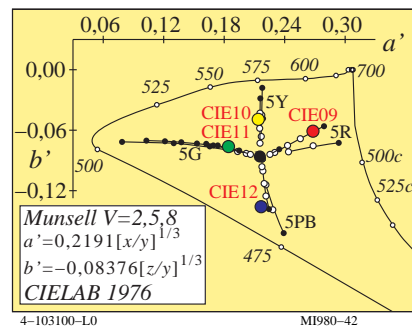
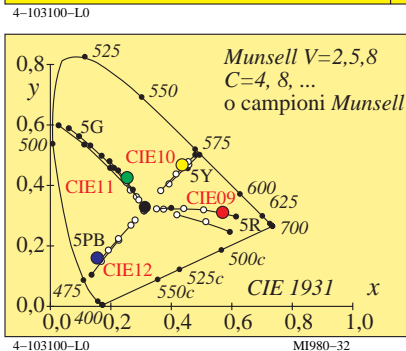
Metrica del colore basata sulla percezione : (relazioni non lineari dai dati CIE 1931)		
termini di colore "non lineare"	Simbolo e relazione con i valori tristimulo o di cromaticità CIE	Note
chiarezza	$L^* = 116 (Y / 100)^{1/3} - 16 \quad (Y > 0,8)$ Approssimazione: $L^* = 100 (Y/100)^{1/2,4} \quad (Y > 0)$	CIELAB 1976
croma	trasformazioni non lineari dei valori cromatici A, B	
rosso-verde	$a^* = 500 [(X / X_n)^{1/3} - (Y / Y_n)^{1/3}]$ $= 500 (a' - a'_n) Y^{1/3}$	CIELAB 1976
giallo-blu	$b^* = 200 [(Y / Y_n)^{1/3} - (Z / Z_n)^{1/3}]$ $= 500 (b' - b'_n) Y^{1/3}$	CIELAB 1976
radiale	$C^*_{ab} = [a^{*2} + b^{*2}]^{1/2}$	$n=D65$ (sfondo)
cromaticità	trasformazioni non lineari delle cromaticità x/y, z/y	confrontabili con le sensibilità dei coni in modo logaritmico
rosso-verde	$a' = (1 / X_n)^{1/3} (x / y)^{1/3}$ $= 0,2191 (x / y)^{1/3} \quad \text{per D65}$	$\log[L / (L+M)]$
giallo-blu	$b' = -0,4 (1 / Z_n)^{1/3} (z / y)^{1/3}$ $= -0,08376 (z / y)^{1/3} \quad \text{per D65}$	$= \log[P / (P+D)]$
radiale	$c'_{ab} = [(a' - a'_n)^2 + (b' - b'_n)^2]^{1/2}$	$\log[S / (L+M)]$ $= \log[T / (P+D)]$

vedi file simili: http://farbe.li.tu-berlin.de/MI98/MI98.HTM
 http://130.149.60.45/~farbmertik o http://farbe.li.tu-berlin.de

iscrizione TUB: 20190801-MI98/MI98L0FP.PDF /.PS
 Applicazione per la misura dell'output su display, nessuna separazione

TUB materiale: code=rh4ta

Attributi del colore nelle metriche di alto e basso livello	Modalità di miscela di colori	
	Dicromatica	Tricromatica
Metrica di basso livello o di valenza	(per $Y_{dd} \geq B_{dd}$)	(per $R_{dd} \geq G_{dd} \geq B_{dd}$)
valore bianco W	B_{dd}	B_{dd}
valore nero N	$100 - Y_{dd}$	$100 - R_{dd}$
valore cromatico C	$Y_{dd} - B_{dd}$	$R_{dd} - B_{dd}$
Metrica di alto livello o basata sulla percezione	(per $Y^*_{dd} \geq B^*_{dd}$)	(per $R^*_{dd} \geq G^*_{dd} \geq B^*_{dd}$)
bianchezza W^*	B^*_{dd}	B^*_{dd}
nerezza N^*	$100 - Y^*_{dd}$	$100 - R^*_{dd}$
cromaticità C^*	$Y^*_{dd} - B^*_{dd}$	$R^*_{dd} - B^*_{dd}$



indice di fedeltà di colore R_i del colore di test di BAM-scanner		
scanner	TC indice di fedeltà	differenza di colore
banda large	1	82
	2	84
laser	1	63
	2	69
ideale	1	100
	2	100

D65, regolazione con carte pience

4-103100-L0 ME741-8/MI981-42

Metrica del colore di valenza: (relazioni lineari dai dati CIE 1931)		
Denominazione degli attributi cromatici "lineari"	Simbolo e relazione con i valori trstimulo o di cromaticità CIE	Note
valori di tristimulus	X, Y, Z	
valore cromatico	Diagramma lineare del valore cromatico (A, B)	$n=D65$
rosso-verde	$A = [X / Y - X_n / Y_n] Y = [a - a_n] Y$ $= [x / y - x_n / y_n] Y$	(sfondo)
giallo-blu	$B = -0,4 [Z / Y - Z_n / Y_n] Y = [b - b_n] Y$ $= -0,4 [z / y - z_n / y_n] Y$	
radiale	$C_{AB} = [A^2 + B^2]^{1/2}$	
cromaticità	Diagramma lineare di cromaticità (a, b)	confrontabili con le sensibilità dei coni in modo lineare
rosso-verde	$a = X / Y = x / y$	$L/(L+M) = P/(P+D)$
giallo-blu	$b = -0,4 [Z / Y] = -0,4 [z / y]$	$S/(L+M) = T/(P+D)$
radiale	$c_{ab} = [(a - a_n)^2 + (b - b_n)^2]^{1/2}$	

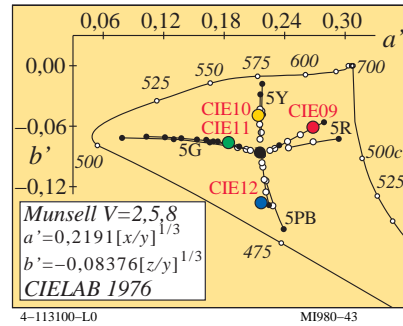
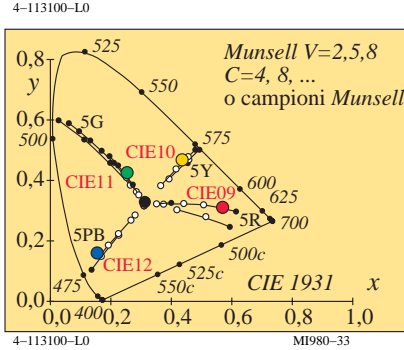
4-103100-L0 MI980-72

Metrica del colore basata sulla percezione : (relazioni non lineari dai dati CIE 1931)		
termini di colore "non lineare"	Simbolo e relazione con i valori tristimulo o di cromaticità CIE	Note
chiarezza	$L^* = 116 (Y / 100)^{1/3} - 16 (Y > 0,8)$ Approssimazione: $L^* = 100 (Y / 100)^{1/2,4} (Y > 0)$	CIELAB 1976
croma	trasformazioni non lineari dei valori cromatici A, B	
rosso-verde	$a^* = 500 [(X / X_n)^{1/3} - (Y / Y_n)^{1/3}]$ $= 500 (a' - a'_n) Y^{1/3}$	CIELAB 1976
giallo-blu	$b^* = 200 [(Y / Y_n)^{1/3} - (Z / Z_n)^{1/3}]$ $= 500 (b' - b'_n) Y^{1/3}$	CIELAB 1976
radiale	$C^*_{ab} = [a^{*2} + b^{*2}]^{1/2}$	$n=D65$ (sfondo)
cromaticità	trasformazioni non lineari delle cromaticità x/y, z/y	confrontabili con le sensibilità dei coni in modo logaritmico
rosso-verde	$a' = (1 / X_n)^{1/3} (x / y)^{1/3}$ $= 0,2191 (x / y)^{1/3}$ per D65	$\log[L / (L+M)]$
giallo-blu	$b' = -0,4 (1 / Z_n)^{1/3} (z / y)^{1/3}$ $= -0,08376 (z / y)^{1/3}$ per D65	$= \log[P / (P+D)]$
radiale	$c'_{ab} = [(a' - a'_n)^2 + (b' - b'_n)^2]^{1/2}$	$\log[S / (L+M)]$ $= \log[T / (P+D)]$

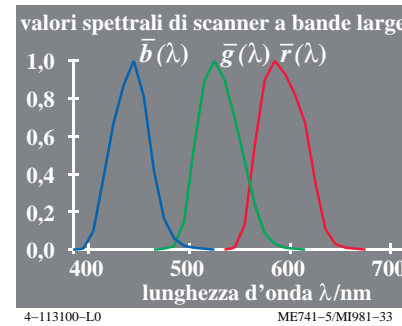
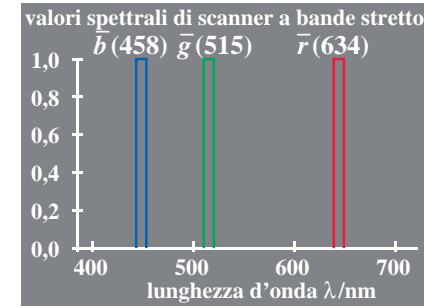
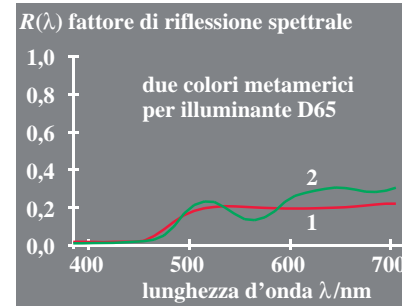
4-103100-L0 PE4300L_120830.TXT, 1080 colors, Separation cmy6*
 Input: rgb/cmyk -> rgb_{dd}
 Output: linearizzazione 3D a rgb_{dd}*

4-103100-L0 MI981-72

Attributi del colore nelle metriche di alto e basso livello		Modalità di miscela di colori	
		Dicromatica	Tricromatica
Metrica di basso livello o di valenza			
valore bianco	W	(per $Y_{de} \geq B_{de}$)	(per $R_{de} \geq G_{de} \geq B_{de}$)
valore nero	N	B_{de}	B_{de}
valore cromatico	C	$100 - Y_{de}$	$100 - R_{de}$
		$Y_{de} - B_{de}$	$R_{de} - B_{de}$
Metrica di alto livello o basata sulla percezione			
bianchezza	W^*	(per $Y^*_{de} \geq B^*_{de}$)	(per $R^*_{de} \geq G^*_{de} \geq B^*_{de}$)
nerezza	N^*	B^*_{de}	B^*_{de}
cromaticità	C^*	$100 - Y^*_{de}$	$100 - R^*_{de}$
		$Y^*_{de} - B^*_{de}$	$R^*_{de} - B^*_{de}$



Metrica del colore di valenza: (relazioni lineari dai dati CIE 1931)		
Denominazione degli attributi cromatici "lineari"	Simbolo e relazione con i valori tristimolo o di cromaticità CIE	Note
valori di tristimulus	X, Y, Z	
valore cromatico	Diagramma lineare del valore cromatico (A, B)	$n=D65$
rosso-verde	$A = [X / Y - X_n / Y_n] Y = [a - a_n] Y$ $= [x / y - x_n / y_n] Y$	(sfondo)
giallo-blu	$B = -0,4 [Z / Y - Z_n / Y_n] Y = [b - b_n] Y$ $= -0,4 [z / y - z_n / y_n] Y$	
radiale	$C_{AB} = [A^2 + B^2]^{1/2}$	
cromaticità	Diagramma lineare di cromaticità (a, b)	confrontabili con le sensibilità dei coni in modo lineare
rosso-verde	$a = X / Y = x / y$	
giallo-blu	$b = -0,4 [Z / Y] = -0,4 [z / y]$	$L/(L+M) = P/(P+D)$
radiale	$c_{ab} = [(a - a_n)^2 + (b - b_n)^2]^{1/2}$	$S/(L+M) = T/(P+D)$



indice di fedeltà di colore R_i del colore di test di BAM-scanner		
scanner	TC indice di fedeltà	differenza di colore
banda large	1	82
	2	84
laser	1	63
	2	69
ideale	1	100
	2	100

D65, regolazione con carte pience

4-113100-L0 ME741-8/MI981-43

Metrica del colore basata sulla percezione : (relazioni non lineari dai dati CIE 1931)		
termini di colore "non lineare"	Simbolo e relazione con i valori tristimolo o di cromaticità CIE	Note
chiarezza	$L^* = 116 (Y / 100)^{1/3} - 16 \quad (Y > 0,8)$ Approssimazione: $L^* = 100 (Y/100)^{1/2,4} \quad (Y > 0)$	CIELAB 1976
croma	trasformazioni non lineari dei valori cromatici A, B	
rosso-verde	$a^* = 500 [(X / X_n)^{1/3} - (Y / Y_n)^{1/3}]$ $= 500 (a' - a'_n) Y^{1/3}$	CIELAB 1976
giallo-blu	$b^* = 200 [(Y / Y_n)^{1/3} - (Z / Z_n)^{1/3}]$ $= 500 (b' - b'_n) Y^{1/3}$	CIELAB 1976
radiale	$C^*_{ab} = [a^{*2} + b^{*2}]^{1/2}$	$n=D65$ (sfondo)
cromaticità	trasformazioni non lineari delle cromaticità x/y, z/y	confrontabili con le sensibilità dei coni in modo logaritmico
rosso-verde	$a' = (1 / X_n)^{1/3} (x / y)^{1/3}$ $= 0,2191 (x / y)^{1/3}$ per D65	$\log[L / (L+M)]$
giallo-blu	$b' = -0,4 (1 / Z_n)^{1/3} (z / y)^{1/3}$ $= -0,08376 (z / y)^{1/3}$ per D65	$= \log[P / (P+D)]$
radiale	$c'_{ab} = [(a' - a'_n)^2 + (b' - b'_n)^2]^{1/2}$	$\log[S / (L+M)]$ $= \log[T / (P+D)]$

MI981H
 iscrizione TUB: 20190801-MI98/MI98L0FP.PDF /.PS
 Applicazione per la misura dell'output su display, nessuna separazione
 TUB materiale: code=rh4ta